

NGU rapport nr. 91.211

Gravimetri for kartlegging
av løsmassemektigheter i
Gaulosen

Rapport nr. 91.211	ISSN 0800-3416	Åpen/Faststilt til
Tittel:		
Gravimetri for kartlegging av løsmassemektigheter i Gaulosen		
Forfatter: Jan Fredrik Tønnesen		Oppdragsgiver: NGU
Fylke: Sør-Trøndelag		Kommune: Melhus, Skaun og Trondheim
Kartbladnavn (M. 1:250 000) Trondheim		Kartbladnr. og -navn (M. 1:50 000) 1521 I Orkanger 1621 IV Trondheim
Forekomstens navn og koordinater: Gaulosen 32 5610 70240		Sidetall: 25 Pris: kr. 65,- Kartbilag: 2
Feltarbeid utført: 07.-09.07.81	Rapportdato: 09.09.1991	Prosjektnr.: 62.2243.00
		Seksjonssjef: <i>Jan S. Reunig</i>
Sammendrag:		
<p>Seismiske målinger har tidligere påvist store løsmassemektigheter i Gauldalen. Tyngdemålingene i Gaulosen-området er utført for å se på tyngdeeffekten av de mektige avsetningene. Målingene omfatter 39 observasjonspunkter hvorav 24 er plassert på løsmasser langs et profil på tvers av dalføret, mens de øvrige er plassert på fjell nord og sør for dalen.</p> <p>Målingene indikerer at løsmassene forårsaker en negativ tyngdeanomali på opptil 10.5 mgal. Tilpasset tyngdemodell gir et maksimaldyp til fjell på ca. 430 m under havnivå et stykke nord for midten av dalbassenget. Fra begge sider av dalen flater fjellet ut i området 150-200 m under havnivå for derfra å gå steilere ned mot dypområdet sentralt i dalen.</p> <p>Under søndre dalskråning ligger tolket fjelloverflate dypere enn seismikk tolkningen i samme område tilsier. Forskjellen skyldes trolig at det er benyttet lav seismisk hastighet i dybdeberegningen, men kan delvis også ha andre årsaker.</p>		
Emneord	Kvartærgeologi	Geomorfologi
Geofysikk	Løsmasse	
Gravimetri	Mektighet	Fagrapport

INNHOLD

	<u>Side</u>
1. INNLEDNING	5
2. DATAINNSAMLING	5
2.1. Tyngdedata	5
2.2. Høydedata	5
3. BEARBEIDING AV DATA	6
4. ANOMALIVURDERINGER	7
4.1. Bouguer-anomalier	7
4.2. Regional- og residualanomalier	8
5. DENSITETER	8
6. MODELLBEREGNINGER	9
7. DISKUSJON	10
8. KONKLUSJON	11
9. REFERANSER	12

TEKSTBILAG

1. Prosjekt 62.2243.00: Prosjektskisse
2. Kort beskrivelse av gravimetri

DATABILAG

- 1 Gravimetridata fra 1981
- 2A Profilutplukk fra gravimetridatabasen (utskrift)

- 2B Profilutplukk fra gravimetridatabasen, Bougueranomalier (grafisk)
- 3 Bougueranomalier, Profilutsnitt 18-24 km
- 4 Residualanomalier
- 5A Tyngdemodellering - seismikkmodell
- 5B Tyngdemodellering - best tilpasset modell
- 5C Modelldata

KARTBILAG

- 91.211-01 Oversiktskart - målepunkter og tolket fjelloverflate
- 02 Fjelloverflaten i tyngdemodellene

1. INNLEDNING

I forbindelse med seismiske målinger i Gauldalen i perioden 1976-79 ble det i Gaulosen påvist løsmassemektigheter på opp til ca. 440 m (Sindre 1980). I 1981 ble det utført tyngdemålinger i Gaulosen-området for å se på tyngdeeffekten av de mektige avsetningene. Direkte ut fra ukorrigerte måleverdier kunne det fastslås at løsmassene gav en negativ anomali større enn 8 mgal.

Denne rapporten omfatter bearbeiding av disse måledata og tyngdemodellering av løsmassemektigheter og fjelloverflatens forløp under Gaulosen. Arbeidet inngår som første ledd under prosjekt 62.2243.00: Gravimetrisk kartlegging av løsmassemektigheter i nedre dalområder i Trøndelag (tekstbilag 1).

2. DATAINNSAMLING

2.1. Tyngdedata

Feltarbeidet ble utført med NGUs Worden gravimeter, Master nr. 780. Målingene omfatter 39 målepunkter, hvorav 15 er plassert på fjelloverflate eller nær fjell på begge sider av dalen, mens de øvrige er plassert på løsmasser langs et profil på tvers av dalføret med punktavstand stort sett 100 m. Målepunktfordeling er vist i kartbilag 91.211-01. For kontroll av daglig drift ble målingene knyttet til en lokal basisstasjon på Klett. Denne ble igjen knyttet til NGOs basisstasjon ved NGU i Trondheim for absoluttbestemmelse av tyngdefeltets verdi.

2.2. Høydedata

I profilet er punktene 100N-1500N plassert langs et markert flomål i strandsonen. Høyden på dette ble beregnet til 1,0 m over havnivå

ut fra kjent høyde på trig.pkt. Ølholmskjær (1.72 m o.h.) vest for Buvika. Høydenivå for målepunktene 1600N-1850N er bestemt ved nivelllement fra 1500N. Ved å sammenholde sjønivået ved trig.pkt. Ølholmskjær med tidevannstabell (Norges sjøkartverk) ble det anslått at tallverdiene i tabellen (sjønivå over vårjevndøgns spring lavvann) var 1.67 m større enn høyder bestemt i NGOs høydereferanse (midlere sjønivå). Tidevannstabellen ble brukt til å beregne høydeverdi for punktene 1960N og 2032N, mens de øvrige punktene på Storøra (2132N-2332N) er bestemt ut fra disse.

For målestasjonene på fjell representerer punktnr. med endelse "G" kommunale polygonpunkter i Trondheim. Disse punktene har midlere lavvann som referansenivå, og for å knyttes til standard NGO-nivå ble de oppgitte høyder redusert med 0.87 m. De øvrige målepunkter ligger på kjente høyder i det økonomiske kartverket. Høydenøyaktigheten vil variere om målestasjonen er plassert på trig.pkt., fotogrammetrisk bestemt høydepunkt eller lettkjennelig punkt på høydekote.

Feltarbeidet ble utført i løpet av 3 dager av Jan Fredrik Tønnesen med en dags assistanse av Mai-Brit Tønnesen.

3. BEARBEIDING AV DATA

Måledata ble først korrigert for daglig drift og deretter frilufts-korrigert for stativhøyde. De korrigerte observasjonsverdiene vist som utskrift i databilag 1, er beregnet i ECS62-systemet.

Beregning av Bouguer-anomalier er utført etter vanlig prosedyre ved NGU (Mathisen 1976). Både i Bouguer- og terrengekorreksjonen er det benyttet en standard densitet på 2670 kg/m^3 . For området innenfor 1 km fra et målepunkt ble terrengekorreksjonen bestemt ved sirkelhøyder. For målepunktene sentralt i dalen ble det bare brukt en sirkel. For målepunkter nærmere dalsidene og for alle punktene på

fjell ble det benyttet tre sirkler med henholdsvis 100 m, 300 m og 600 m radius. Som høydedatagrunnlag ble benyttet økonomisk kartverk i målestokk 1:5 000 med 5 m ekvidistanse. Korreksjonsverdier og Bouguer-anomalier er vist som utskrift i databilag 1.

Alle data er nå lagt inn i gravimetri-databasen ved NGU med oppdragskode 811863. I den forbindelse er observasjonsverdiene regnet om til IGSN71-systemet og det er benyttet en ny formel for normaltyngden.

4. ANOMALIVURDERINGER

4.1. Bouguer-anomalier

For vurdering av anomaliverdiene ble det i første omgang tatt et utplukk fra gravimetri-databasen langs en 2 km bred sone på tvers av Gaulosen og med betydelig utstrekning nord og sør for dalen. I sonen er det registrert 57 punkter og Bouguer-anomaliene for disse er vist tabellarisk i databilag 2A og grafisk i databilag 2B. I databilag 2A er anomaliene angitt i mgal mens de har betegnelse GU i etterfølgende databilag (1 mgal = 10 GU). I området 35-42 km er anomaliene beregnet fra sjømålinger på Trondheimsfjorden, mens innvirkningen av løsmassene i Gaulosen viser seg i området 19-22 km. For den videre anomalivurdering viser databilag 3A et profilutsnitt i området 18-24 km langs sonen. De laveste anomaliene over løsmassene, fra -24.5 til -25.0 mgal, opptrer i området 20.7-21.1 km i profilet, mens anomaliverdiene over fjell sør for dalsedimentene er fra -12.4 til -15.0 mgal og nordafor fra -14.2 til -15.4 mgal.

4.2. Regional- og residualanomalier

Bougueranomalier fra målepunkter på fjell nord og sør for dalen vil være lite påvirket av dalsedimentene og kan derfor benyttes til å legge inn et regionalt anomalifelt som skyldes berggrunnen i området. En komplikasjon oppstår når den virkelige berggrunns-densiteten avviker fra standarddensiteten 2670 kg/m^3 som er brukt ved reduksjon av data til havnivå. Bougueranomaliene vil da være avhengig av topografisk høyde på målepunktene. Berggrunnsdensi-teten i området er anslått til 2840 kg/m^3 (kapittel 5). Anomali-verdiene for målepunktene på fjell i databilag 3A ble korrigert for denne densitetsforskjellen og ble da liggende 0.5-1.7 mgal lavere, som vist i databilag 3B. Det er rimelig å anta at regionalanomali-feltet varierer lineært over den relativt korte avstanden på tvers av dalsedimentene, spesielt når dalføret er omgitt av en bergarts-type. Feltet ble lagt inn med start- og sluttverdi -12.5 mgal og -16.5 mgal, henholdsvis i første og siste punkt i det opprinnelige datautplukket (databilag 2). I profilutsnittet 18-24 km gir dette residualanomalier som vist i databilag 4. Løsmassene ser ut til å gi et negativt anomalibidrag på opptil 10.5 mgal.

5. DENSITETER

For modellberegning av løsmassemektigheter er det viktig å kjenne densiteter både på løsmasser og berggrunn best mulig. Berggrunns-geologisk kart Trondheim i målestokk 1:250 000 (Wolff 1979) viser at området ligger innenfor Størendekket i Trondheimsfeltet og består av grønnstein og grønnskifer med lag av kvartskeratofyr. Utplukk av prøver fra petrofysikk-databasen ved NGU innenfor kartbladene Trondheim og Orkanger (M 1:50 000) gir densitetsverdier for grønn-stein og grønnskifer i området $2770-3000 \text{ kg/m}^3$ (15 prøver).

Den nærmeste prøveserien ved Buvika indikerer relativt lave verdier, og gjennomsnittsverdien av disse på 2840 kg/m^3 (7 prøver) ble brukt for fjellgrunnens densitet i området.

Løsmassene i Gaulosen er en stor deltaavsetning. Boringer indikerer sand/grus i toppen med vekslende lag av sand/grus og silt ned til 75 m, men med økende innhold av finstoff mot dypet (Reite 1983a og b). Det regnes at deltaavsetningene er bygd ut over marin silt og leire av stor mektighet. Ut fra tidligere vurderinger (Tønnesen 1978) anslås sediment-densiteten for vannmettet sand-dominerte avsetninger å ligge rundt 2000 kg/m³. Underliggende leirer, som er relativt godt komprimert, må også kunne regnes å ha omtrent samme densitetsverdi.

6. MODELLBEREGNINGER

Tyngdemodellering er utført med tolkningsprogrammet GAMMA 86 (Hesselström 1987) implementert på MicroVax ved NGU. Programmet beregner anomalivirkningen fra horisontale kropper med polygonformet tverrsnitt og endelig lengde (2½ D).

Tyngdemodellen ble i første omgang laget slik at fjelloverflaten best mulig var i overensstemmelse med tolkningen av seismikkprofilet. Modellen består av to kropper. Kropp 1 er best mulig tilpasset terrengeoverflaten med en horisontal bunn bare 2 m under havnivå. For dette overflatematerialet, som øverst delvis ikke er vannmettet, er densiteten satt til 1950 kg/m³. Kropp 2 omfatter resten av modellen med densitet 2000 kg/m³, mens berggrunnsdensiteten er 2840 kg/m³. Modellen og anomalivirkningen den gir er vist i databilag 5A. Modellanomalien stemmer relativt bra overens med residualanomalien når det gjelder form og maksimal størrelse, men modellanomalien er for liten over søndre dalskråning, dvs. en forskjell på 1.0-1.5 mgal i området 19.7-20.7 km i profilet.

Kropp 2 ble deretter justert for å oppnå best mulig overensstemmelse mellom modellanomali og residualanomaliene. Tilpasset modell og anomali er vist i databilag 5B. Modelldata for begge modellene

er gitt i databilag 5C. I kartbilag -02 er fjellforløpet under dalen ut fra begge modellene tegnet inn for direkte å kunne sammenligne. I kartbilag -01 er det tegnet fjellkonturer ut fra modellen med best anomalitilpasning.

Sammenstillingen i kartbilag -02 viser at seismikkmodellen har 20-35% mindre dyp til fjell i området 19.65-20.65 km, dvs. en dybdeforskjell på fra 20 til 100 m. For øvrig stemmer modellene relativt godt overens.

7. DISKUSJON

Tyngdemodelleringen viser at begge dalsidene har en utfloating et stykke utover i dalbassenget for derfra å gå steilere ned mot dypområdet sentralt i dalen. I modellen med best tilpasning ligger utfloatingen i området 150-200 m under havnivå. Dalprofilet kan gjenspeile at dalutformingen har foregått i flere erosjonsfaser fra prekvartær tid og framover gjennom istidene.

Forskjellen mellom seismikktolkning og tyngdetolkning kan skyldes flere forhold. De seismiske grunnlagsdata i Gaulosen er noe begrenset på grunn av dårlig energiforplantning i løsmassene. Refrakterte bølger ble ikke registrert i store deler av profilet, og dyp til fjell er vesentlig tolket på grunnlag av reflekterte bølger fra fjelloverflaten. I området ca. 19.8-20.5 km er det registrert seismiske hastigheter i løsmassene på bare 600-900 m/s, mens vannmettet sediment for øvrig langs profilet har en hastighet på ca. 1500 m/s. Det er rimelig å anta at hastigheten øker noe med dypet i løsmassene. Dersom det er benyttet for lav hastighet ved beregning av dyp til fjell, kan dette alene forklare hovedforskjellen mellom tolkningene.

Andre bidrag til tolkningsforskjellen kan ligge i tyngdedata og feil densitet i tyngdemodell. Det vil alltid være noe usikkerhet

i nivået for regionalanomalien og spesielt om den varierer lineært over dalføret slik som antatt. Dersom løsmassene har lavere densitet enn antatt, vil dette bidra til for store dyp i modellen. Det er f.eks. mulig at det overflatenært langs deler av profilet kan ligge organisk materiale med lav densitet.

I området 21.15- ca. 21.5 km i profilet er det ikke målt seismikk, så fjellforløpet i den steile dalskråningen i nord er derfor bare anslått.

8. KONKLUSJON

Gravimetri i Gaulosen indikerer at løsmassene gir en negativ tyngde-anomali på opptil 10.5 mgal. Tilpasset tyngdemodell gir et maksimaldyp til fjell på ca. 430 m under havnivå et stykke nord for midten av dalbassenget. Fra begge sider av dalen flater fjellet ut 150-200 m under havnivå for derfra å gå steilere ned mot dypområdet sentralt i dalen. Dette kan gjenspeile at utformingen av dalprofilet har foregått i flere faser fra prekvarter tid og framover gjennom istidene.

Under søndre dalskråning ligger tolket fjelloverflate dypere enn seismikk-tolkningen i samme område tilsier. Forskjellen skyldes trolig at det er benyttet for lav seismisk hastighet i dybdeberegningen, men kan delvis også ha andre årsaker.

Trondheim, 9. september 1991
NORGES GEOLOGISKE UNDERSØKELSE
Geofysisk avdeling

Jan Fredrik Tønnesen

Jan Fredrik Tønnesen
forsker

9. REFERANSER

- Hesselström, B. 1987: GAMMA 86 user's manual. Swedish geological company.
- Mathisen, O. 1976: Method for Bouguer Reduction with Rapid Calculation of Terrain Corrections, Norges geografiske oppmåling, Geodetiske arbeider 18.
- Norges sjøkartverk: Tidevannstabeller for den norske kyst ved Svalbard 1981, 44. årgang.
- Reite, A.J. 1983a: Trondheim. Beskrivelse til kvartärgeologisk kart 1621 IV - M 1:50 000. Norges geologiske undersøkelse 391.
- Reite, A.J. 1983b: Orkanger. Beskrivelse til kvartärgeologisk kart 1521 I - M 1:50 000. Norges geologiske undersøkelse 392.
- Sindre, A. 1980: Seismiske målinger i Gauldalen 1972-1979. NGU rapport nr. 1641.
- Tønnesen, J.F. 1978: Geofysiske undersøkelser av kvartære seder i Numedal. Hovedfagsoppgave i geofysikk/kvartärgeologi, Institutt for geologi, Universitetet i Oslo.
- Wolff, F.C. 1979: Beskrivelse til de berggrunnsgeologiske kart Trondheim og Østersund 1:250 000 (med fargetrykte kart). Norges geologiske undersøkelse 353.

Prosjekt 62.2243.00: Prosjektskisse

Tittel

Gravimetri for kartlegging av løsmassemektigheter og fjellforløp i de nedre dalområdene innenfor kartblad Trondheim 1:250 000.

Situasjon og ønskemål

Løsmassene i de lavereliggende deler av de større dalførene er avsatt i fjordbassenger under og etter isens tilbaketrekning, og mektighetene er som regel store. Fjellformen i bassengene og løsmassemektighetene er bare kjent fra enkelte steder hvor det er målt seismikk. Det finnes også enkelte gamle dypboringer. For å få et bedre bilde av forholdene vil det være ønskelig å kartlegge områdene ved hjelp av gravimetri.

Metodefordeler

1. Gravimetri er rimelige og enkle målinger som egner seg godt for kartlegging av store løsmassemektigheter. Seismiske målinger blir dyrere og mer omstendelige når mektighetene blir store.
2. Bebyggelse og tekniske installasjoner er ingen hindring for målingene. Disse forhold kan begrense muligheten for og brukbarheten av seismiske og elektriske målinger. Områdene som ønskes undersøkt er av de mest bebygde i Trøndelag og er typiske pressområder.

Forventede produkter

1. Tyngdeanomali-kart/profiler over dalområdene med omgivelser.
2. Tolknings-kart/profiler over løsmassemektigheter og fjelloverflatens forløp.
3. Volum og masseberegnning av løsmassene i dalførene.

Bruk av dataene

1. De kan gi bedre forståelse av den geomorfologiske utvikling av dalførene i løpet av kvartærtiden.
2. For vurdering av den kvartærgeologiske utvikling vil det være viktig å ha kjennskap til størrelsen av løsmasseavsetningene.
3. For planleggings- og utbyggingsformål vil det alltid være nyttig å ha kjennskap til fjelloverflatens forløp under løsmassene.
4. Målingene vil redusere omfanget og nødvendigheten av andre geofysiske målinger og borer i forbindelse med kartlegging, planlegging og utbygging. Disse kan da lettare konsentreres om utvalgte områder og for nærmere kartlegging av løsmasetyper.
5. Når et dalområde er målt gravimetrisk vil det være lett å gjøre utfyllende målinger innen bestemte områder senere.
6. En del av målingene vil gå naturlig inn som en videreføring av de regionale målingene som allerede er utført innenfor kartbladet (oppdrag 1377).

KORT BESKRIVELSE AV GRAVIMETRI

Tyngdekraften er et naturfenomen som alle mennesker er fortrolig med, men tyngdeloven ble ikke formulert før i 1687 av Isaac Newton. Newtons lov er enkel, $K=G \cdot \frac{M \cdot m}{R^2}$, eller med ord: To legemer trekker på hverandre med en kraft (K) som er proporsjonal med legemenes masser (M og m) og omvendt proporsjonal med kvadratet på avstanden mellom dem (R^2). G i formelen er en konstant.

Størstedelen av den tyngdekraften merker på jordoverflaten skyldes Jordens enorme masse som kan tenkes konsentrert i Jordens midtpunkt. Denne masse virker på mindre masser (gjenstander, mennesker osv.).

Hvis jorden ikke roterte og var fullstendig kuleformet og homogen, ville en ha samme tyngdekraft over alt på Jordoverflaten. Dette er ikke tilfelle, flatttrykkingen ved polene gjør at en der er 21 km nærmere Jordens tyngdepunkt enn ved ekvator, og sammen med sentrifugalkraften gjør dette at en har større tyngdekraft på polene enn ved ekvator.

Hvis en mäter tyngdekraften over en lett bergart, vil en få mindre tyngde enn normalt for breddegraden fordi en da har mindre masse like under observasjonspunktet. Over en malmforekomst eller bergart med stor egenvekt vil en observere større tyngde enn normalt.

I første omgang fikk gravimetrien stor betydning for utrekning av Jordens form og Jordskorpens sammensetning i grove trekk. Til nøyaktig måling av tyngdekraften, eller det en egentlig er ute etter, tyngdens akselerasjon g, bruker en pendelmålinger. Dette er tidkrevende og innviklete målinger, hvor svingetiden for en pendel brukes til å bestemme absoluttverdien av g.

Det var først da en utviklet de moderne instrumentene som hurtig måler relative verdier eller tyngdeforskjeller, at gravimetrien også fikk stor anvendelse innen malmleting og for berekning av mindre geologiske strukturer.

NGU har et Worden gravimeter og et LaCoste & Romberg gravimeter. I grove trekk er slike instrumenter fjærvekter. På et sted med stor g blir massen i fjæra dratt lenger ned enn på et sted med mindre g. Forlengelsen av fjæra er da et mål for g på stedet. For at temperatursvigninger ikke skal influere på målingene, er instrumentene bygget inne i termos-flasker". De nyeste instrumentene har dessuten batteri og termostat for å oppnå konstant temperatur.

Enheten Gal (cm/sec^2) blir brukt når det gjelder tyngde, men i gravimetrien benyttes mest milliGal. På våre breddegrader er g normalt ca. $9.81 \text{ m/sec}^2 = 981 \text{ Gal} = 981\,000 \text{ milliGal}$.

På Worden gravimetret kan en lese av tyngdevariasjoner på 0.01 milliGal, på LaCoste & Romberg gravimetret 0.001 milliGal.

Instrumentene er små og lette, og en mann kan utføre målingene alene, hver observasjon tar bare et par minutter. På grunn av drift i instrumentene og daglige variasjoner i tyngden forårsaket av sol og måne, må en flere ganger om dagen tilbake til et fast punkt og ta ny observasjon for å få en "driftskurve".

Når de innsamlede tyngdemålingene skal bearbeides, må en innføre en hel del korrekksjoner, slik at de anomaliene en får fram kun skyldes forhold nede i grunnen.

Fordi avstanden til jordens massemidtpunkt spiller så stor rolle, (en høydeforskjell på 5 cm vil utgjøre 0.01 milliGal), må en ha høyden på alle målepunktene, og alle observasjonene må reduseres til ett nivå. Ved undersøkelser av mindre strukturer eller malmforekomster må punktene nivelleres, mens en ved større regionale undersøkelser ikke trenger den samme nøyaktighet og kan velge målepunkter med kjent høyde direkte fra kart.

Breddegradskorreksjon, driftskorreksjon og høydekorreksjon er enkelt og raskt å gjøre, men i et land som Norge vil også topografien ha stor innflytelse på målingene. Hvis det er et fjell eller en knaus i nærheten av et observasjonspunkt, vil fjellets masse virke på instrumentene. Massen som ligger høyere enn instrumentene vil virke med en kraft oppover, og en får for lav verdi. En dal vil ha samme virkning da der mangler en masse som skulle ha virket nedover.

Korreksjonen for terrengoverflaten var før svært arbeidskrevende å beregne, men etter at datateknikken er tatt i bruk går det greit. Det er nødvendig at en har gode kart over området rundt målepunktene.

Etter at reduksjonsarbeidet er gjort, og en trekker fra den tyngde en teoretisk skulle ha på stedet, vil en få et Bouguer-anomalikart. (Bouguer var en fransk geodet). De anomaliene en da har, skyldes bare forhold (egenvektsfordelinger) nede i grunnen.

En tyngdeanomali kan skyldes et uendelig antall kombinasjoner av egenvektskontrast og dimensjon på den kroppen en har nede i grunnen. Men som regel vet en hva slags egenvekter en har med å gjøre, og en har også andre opplysninger om geologien som begrenser antall muligheter.

Det en ofte gjør når en skal tolke en tyngdeanomali, er at en tenker seg visse modeller som er sannsynlige og berekner hvilke anomalier disse ville forårsake. En sammenlikner så med de observerte anomaliene og varierer dimensjonene på modellene til en får samme anomalier som de observerte. Til dette arbeidet bruker vi nå vårt EDB-anlegg, Hewlett-Packard 3000. Maskinen rekner ut og tegner opp anomalikurver over en modell på få sekunder. På den måten kan et stort antall modeller bli prøvd på kort tid.

Sted : GAULOSEN

Oppdragsnr. : 1863

Målingene utført i 1981 Beregningene utført i DEC 1989

Stasjon Profil Punkt	Bredde- grad	Lengde- grad	UTM- sone	UTM- øst	UTM- nord	Hayde (1 m)	Observert tyngde	Frilufts- korr.	Terreng- korr.	Bouguer- anomali
317G	63 20.61	10 14.70	32V	562324	7024635	14.35	982164.400	1.63	1.51	4.43
328G	63 20.92	10 10.29	32V	558635	7025147	95.86	982150.590	10.86	1.10	-7.79
794G	63 20.64	10 14.68	32V	562305	7024687	30.09	982161.550	3.41	1.72	-6.48
945G	63 20.81	10 15.72	32V	563161	7025030	85.36	982152.320	9.67	1.26	-7.36
971G	63 21.34	10 15.25	32V	562751	7026005	193.71	982133.550	21.94	1.99	-6.51
976G	63 21.08	10 14.70	32V	562300	7025505	179.49	982135.190	20.33	1.49	-5.04
978G	63 21.04	10 14.03	32V	561743	7025433	169.33	982136.840	19.18	2.17	-5.42
985G	63 21.33	10 12.54	32V	560494	7025950	137.34	982142.200	15.56	2.64	-4.95
992G	63 21.78	10 11.67	32V	559751	7026758	147.16	982141.160	16.67	1.36	-6.74
1H	63 20.95	10 13.22	32V	561070	7025255	193.00	982149.990	10.54	2.61	-6.12
2H	63 19.38	10 14.21	32V	561954	7022356	60.00	982155.060	6.80	1.89	-3.55
3H	63 19.14	10 11.95	32V	560075	7021868	85.70	982150.220	9.71	2.19	-4.56
4H	63 19.21	10 12.43	32V	560474	7022004	131.00	982140.890	14.84	3.87	-4.40
5H	63 18.97	10 12.73	32V	560735	7021557	277.30	982112.460	31.40	4.72	-3.20
6H	63 18.60	10 19.62	32V	558150	7020834	72.73	982153.560	8.24	1.76	-4.52
100N	63 19.42	10 12.66	32V	560660	7022395	71.00	982165.300	11.1	2.02	-2.43
200N	63 19.47	10 12.71	32V	560730	7024486	1.00	982165.060	11.1	2.02	-3.1
300N	63 19.52	10 12.76	32V	560740	7022580	1.00	982164.670	11.1	2.23	-3.1
400N	63 19.57	10 12.80	32V	560775	7022672	1.00	982164.120	11.1	0.3	-9.91
500N	63 19.62	10 12.85	32V	560809	7022765	1.00	982163.580	8.6	1.03	-10.74
600N	63 19.67	10 12.89	32V	560840	7022862	1.00	982163.080	11.1	7.9	-11.31
700N	63 19.72	10 12.91	32V	560862	7022958	1.00	982162.690	11.1	7.3	-11.76
800N	63 19.77	10 12.94	32V	560885	7023055	1.00	982162.330	11.1	6.7	-12.26
900N	63 19.83	10 12.97	32V	560905	7023155	1.00	982161.830	11.1	6.6	-12.94
1000N	63 19.88	10 12.98	32V	560915	7023253	1.00	982161.400	10.0	6.3	-13.40
1100N	63 19.93	10 13.01	32V	560925	7023353	1.85	982161.940	10.0	6.3	-13.98
1200N	63 19.99	10 13.04	32V	560935	7023453	1.00	982160.470	11.1	6.6	-14.43
1300N	63 20.04	10 13.02	32V	560941	7023553	1.00	982160.150	11.1	6.4	-14.89
1400N	63 20.09	10 13.03	32V	560943	7023653	1.00	982159.850	11.1	6.4	-15.19
1500N	63 20.15	10 13.03	32V	560943	7023752	1.00	982159.760	11.1	6.2	-15.42
1600N	63 20.20	10 13.03	32V	560945	7023853	1.00	982159.820	0.3	0.8	-15.60
1700N	63 20.25	10 13.04	32V	560947	7023953	1.30	982159.910	0.3	0.9	-15.64
1800N	63 20.31	10 13.05	32V	560950	7024056	1.23	982159.950	0.3	0.7	-15.56
1850N	63 20.34	10 13.04	32V	560950	7024108	1.25	982160.360	0.3	0.8	-14.48
1960N	63 20.40	10 12.99	32V	560909	7024218	1.60	982161.200	0.7	0.9	-13.97
2032N	63 20.43	10 13.07	32V	560967	7024288	1.60	982161.680	0.7	0.72	-13.11
2132N	63 20.49	10 13.07	32V	560967	7024388	1.80	982162.310	0.9	0.8	-12.33
2232N	63 20.54	10 13.07	32V	560966	7024490	1.10	982163.170	0.1	0.03	-11.30
2332N	63 20.60	10 13.08	32V	560966	7024590	1.20	982164.300	0.2	0.06	-11.30

Gravimetridata innsamlet 1981.

Observert tyngde er beregnet i ECS62-systemet.
Standard-densitet 2670 kg/m³ er benyttet i Bouguer- og terrekorreksjonene.

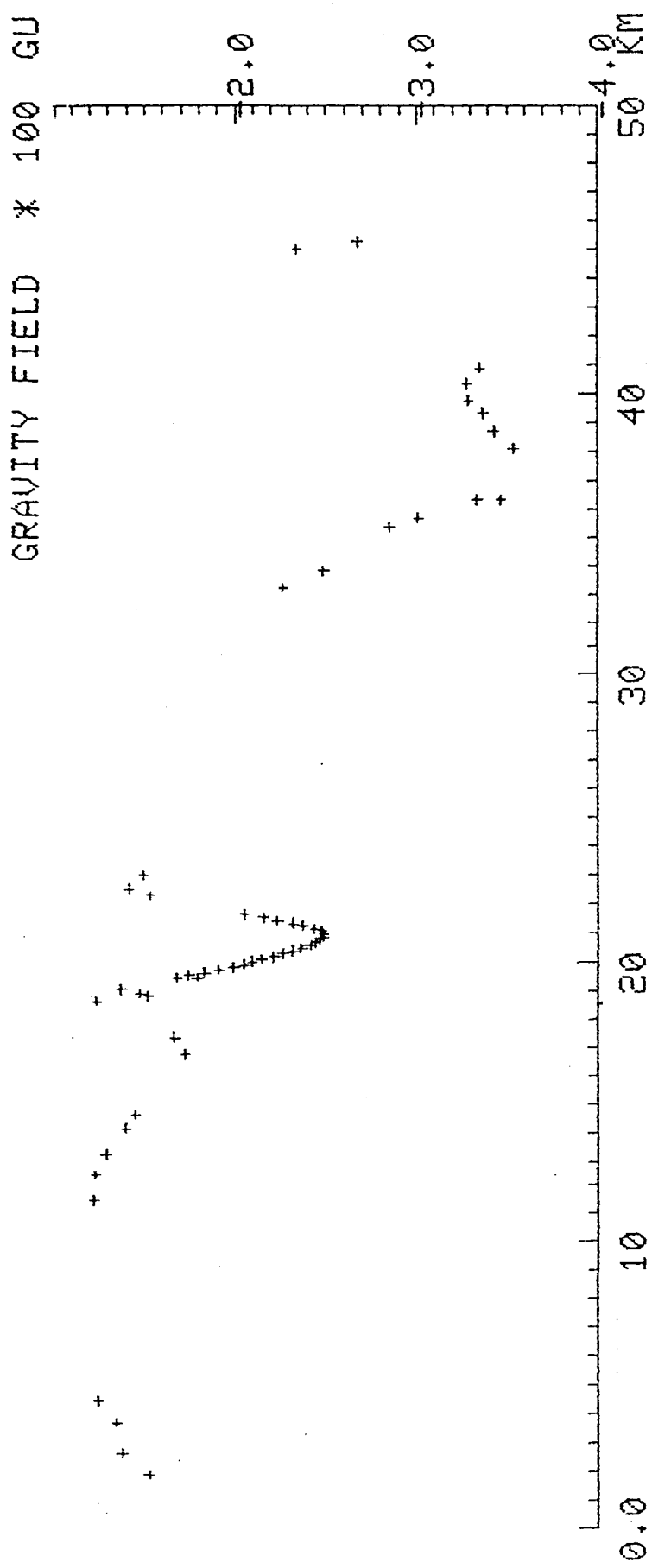
Databilag 1

Utplukks-nr.	Målepunktpllassering i profil			Høyde (m o.h.)	Observerd tyngde (mgal)	Bouguer-anomali (mgal)	Målestasjon Profil Punkt kode
	x (km)	y (km)	(km)				
1	1.741	-2.265	238.00	982095.630	-15.315	440	720969
2	1.459	-2.09	216.50	982101.850	-13.818	409	720969
3	1.520	-4.70	218.50	982090.190	-13.489	408	720969
4	1.275	-5.92	219.00	982103.390	-12.510	407	720969
5	1.329	-7.70	123.80	982126.750	-12.245	507	720969
6	1.242	-4.53	189.40	982133.500	-12.344	506	720969
7	1.169	-2.63	107.00	982130.820	-12.938	505	720969
8	1.087	-7.29	117.00	982128.670	-14.040	504	720969
9	1.581	-7.90	100.50	982130.690	-14.552	2003	720969
10	1.733	-7.70	52.80	982139.440	-17.276	2002	720969
11	1.325	-9.92	55.80	982139.860	-16.802	2205	811863
12	1.857	-0.48	277.30	982097.860	-12.441	5H	811863
13	1.889	-6.46	85.70	982135.440	-15.277	3H	811863
14	1.858	-6.23	85.70	982135.620	-14.854	4H	811863
15	1.909	-1.23	131.00	982126.290	-13.798	100N	811863
16	1.946	-0.58	131.00	982150.700	-16.848	2204	720969
17	1.871	-1.04	131.00	982149.700	-17.854	2200N	811863
18	1.816	-1.31	131.00	982149.700	-17.854	2000N	811863
19	1.957	-0.48	117.00	982150.460	-17.492	800N	811863
20	1.999	-0.19	117.00	982150.070	-18.392	900N	811863
21	1.594	-0.15	117.00	982149.520	-19.145	400N	811863
22	1.687	-0.46	117.00	982148.980	-19.976	500N	811863
23	1.781	-0.77	117.00	982148.980	-20.653	600N	811863
24	1.879	-1.04	117.00	982148.480	-23.675	700N	811863
25	1.976	-1.42	117.00	982147.090	-24.099	800N	811863
26	1.919	-1.58	117.00	982147.070	-24.431	900N	811863
27	1.976	-1.65	117.00	982145.160	-24.665	1000N	811863
28	1.973	-1.71	117.00	982146.800	-22.638	1100N	811863
29	2.074	-1.04	117.00	982146.340	-22.324	1200N	811863
30	2.074	-1.42	117.00	982145.870	-23.675	1300N	811863
31	2.074	-1.58	117.00	982145.550	-24.129	1400N	811863
32	2.073	-1.65	117.00	982145.250	-24.431	1500N	811863
33	2.073	-1.71	117.00	982145.160	-24.665	1600N	811863
34	2.073	-1.77	117.00	982145.220	-24.844	1700N	811863
35	2.074	-1.83	117.00	982145.340	-24.844	1800N	811863
36	2.074	-1.89	117.00	982145.350	-24.803	1960N	811863
37	2.074	-1.95	117.00	982145.760	-24.385	2032N	811863
38	2.074	-2.01	117.00	982146.600	-23.719	2132N	811863
39	2.074	-2.07	117.00	982147.080	-22.312	2232N	811863
40	2.074	-2.13	117.00	982147.350	-22.350	2332N	811863
41	2.074	-2.19	117.00	982148.570	-21.573	2432N	811863
42	2.074	-2.25	117.00	982149.700	-20.539	2532N	811863
43	2.074	-2.31	117.00	982149.000	-15.369	1H	811863
44	2.074	-2.37	117.00	982135.390	-14.194	978G	811863
45	2.074	-2.43	117.00	982122.400	-14.194	985G	811863
46	2.074	-2.49	117.00	982118.600	-14.693	1309	720969
47	2.074	-2.55	117.00	982117.700	-13.535	1308	720969
48	2.074	-2.61	117.00	982117.700	-13.535	SJTRON	811863
49	2.074	-2.67	117.00	982117.700	-13.535	206	811863
50	2.074	-2.73	117.00	982119.300	-13.428	206	811863
51	2.074	-2.79	117.00	982121.600	-13.010	206	811863
52	2.074	-2.85	117.00	982120.600	-13.333	205	811863
53	2.074	-2.91	117.00	982122.100	-13.297	203	811863
54	2.074	-2.97	117.00	982124.400	-13.297	203	811863
55	2.074	-3.03	117.00	982126.800	-13.350	203	811863
56	2.074	-3.09	117.00	982160.450	-13.391	132	811889
57	2.074	-3.15	117.00	982154.810	-13.445	3945	NGO1

Profilutplukk fra gravimetridatabasen.

Observert tyngde er beregnet i IGSN71-systemet.

Bougueranomaliene er beregnet med ny formel for normaltyngden.

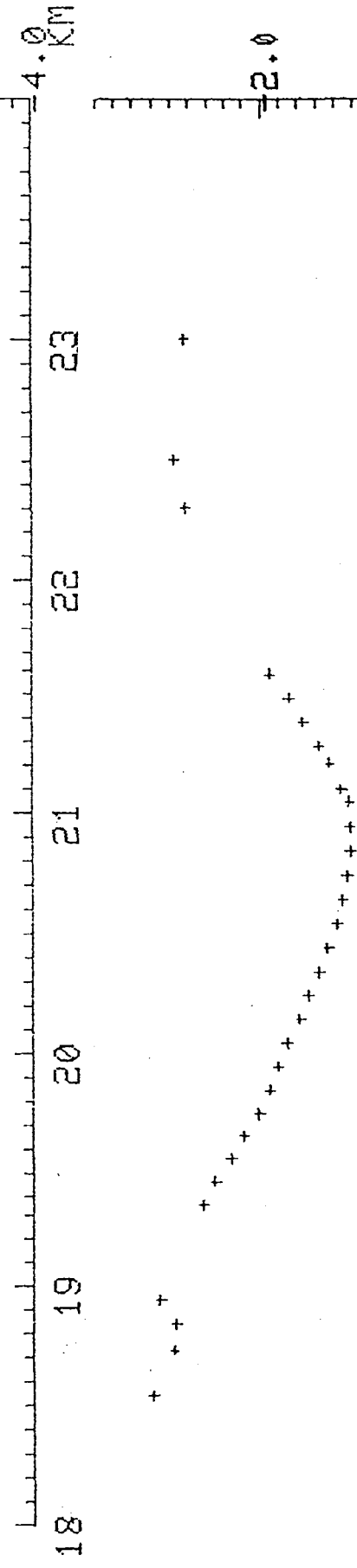


Profilutplukk fra gravimetridatabasen (Bougueranomaliene fra databilag 2A).
 Startkoordinat for profil: UTM-øst = 560000, UTM-nord = 7003000
 Sluttkoordinat for profil: UTM-øst = 562000, UTM-nord = 7057000
 Størkebredde i profil: 2 km
 100 GU (gravity units) = 10 mgal (milligal).

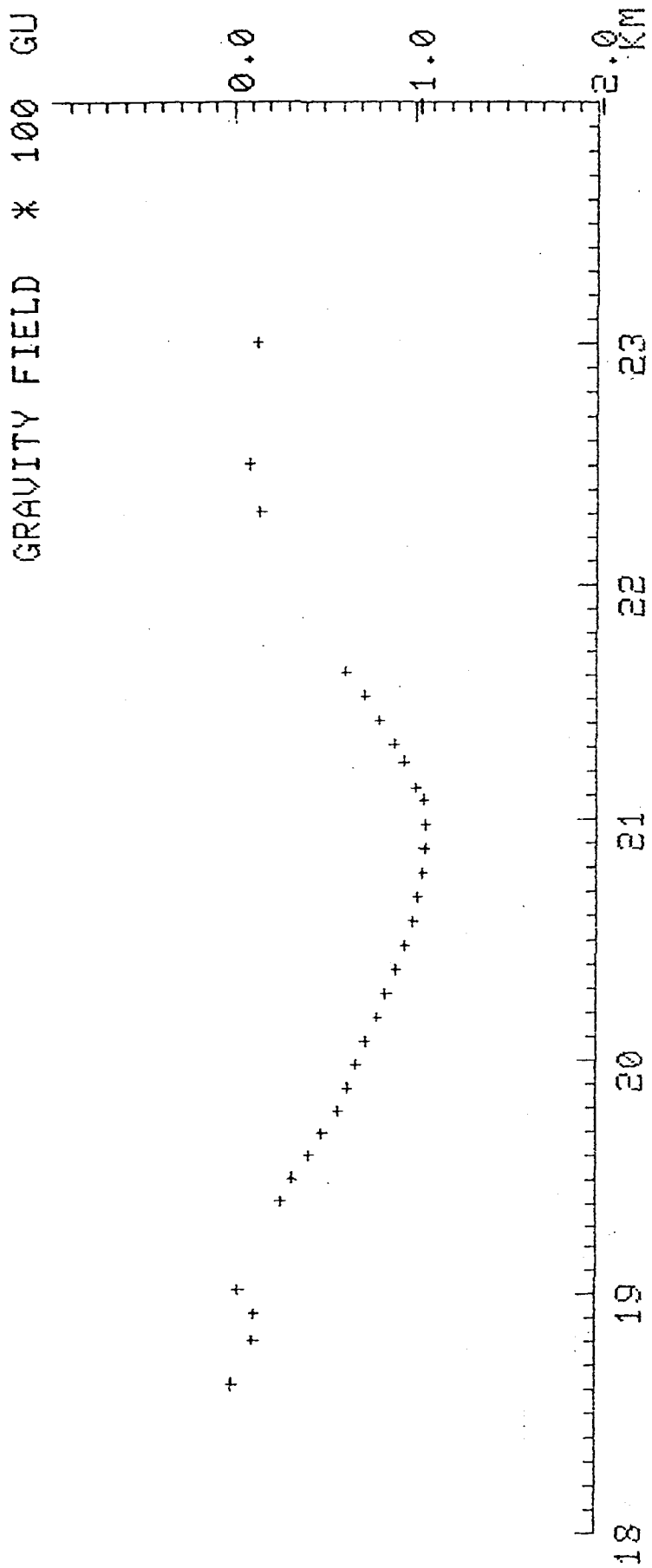
GRAVITY FIELD *



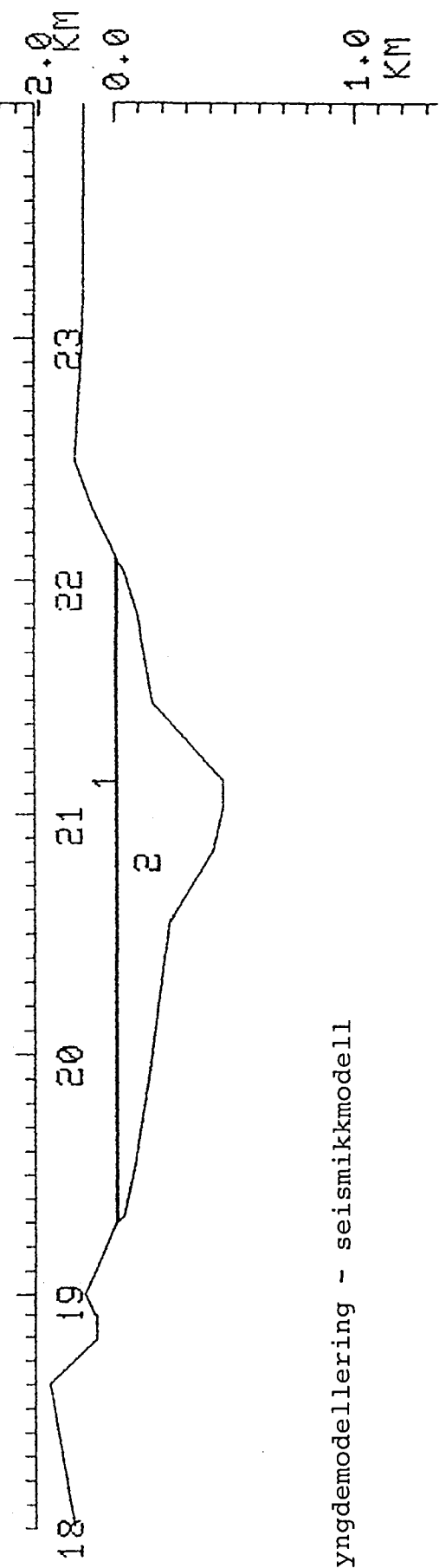
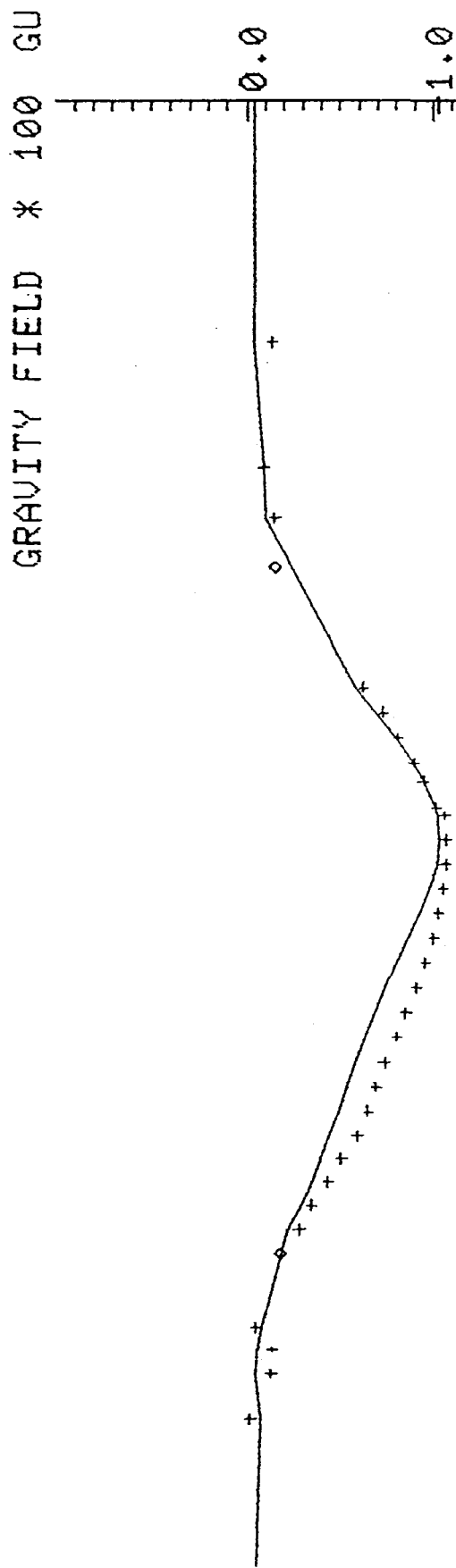
3A: Bougueranomalier
Profilutsnitt 18-24 km fra databilag 2B



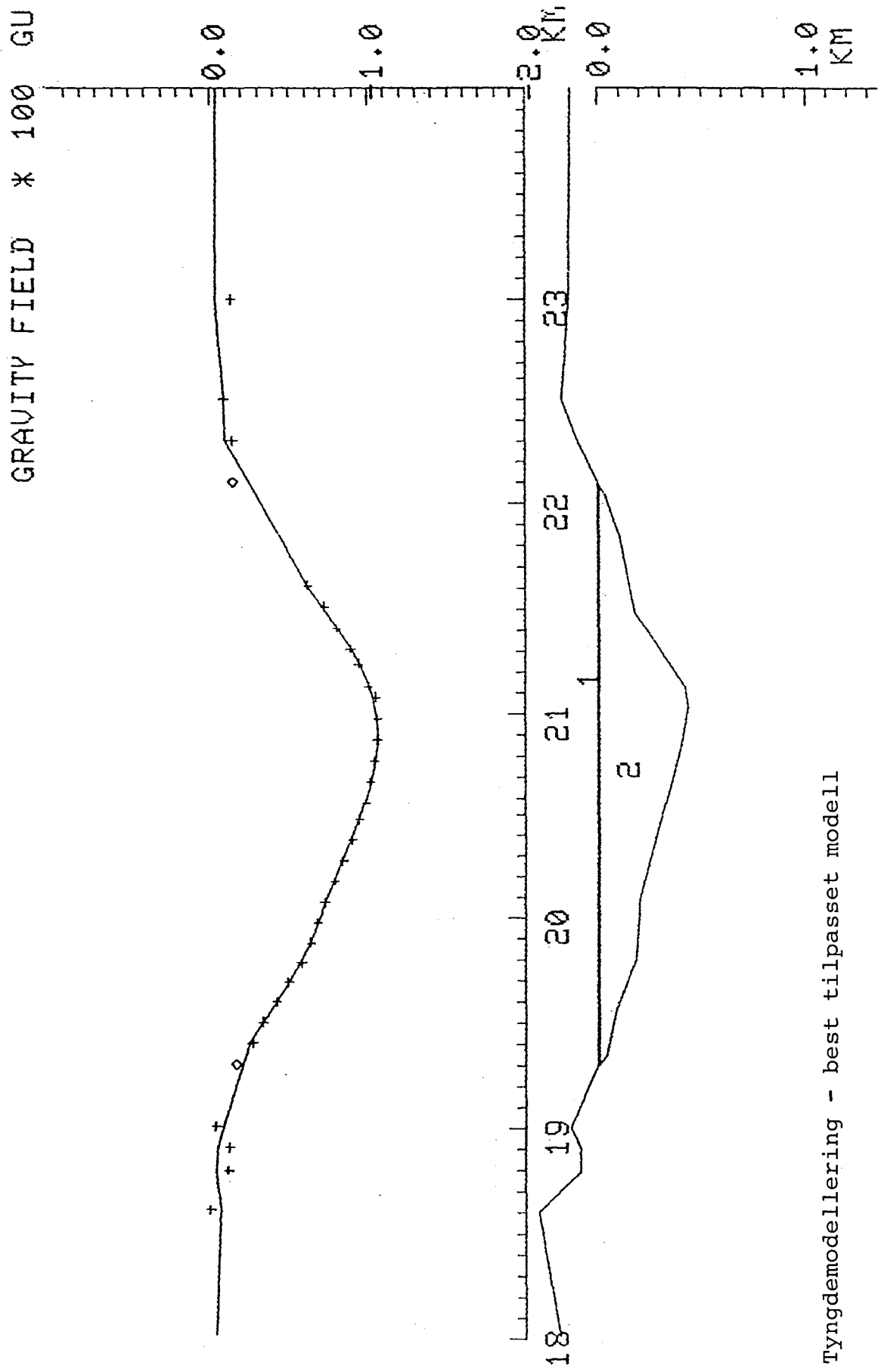
3B: Som 3A, men anomaliene for målepunkter på fjell er korrigeret for
densitetsforskjellen mellom observert verdi (2840 kg/m^3) og
standard verdi (2670 kg/m^3).



Residualanomalier
= Bougueranomalier fra databilag 3B - regionalanomalifelt.
Regionalanomalifeltet er regnet å variere lineært langs profilet med nivå
-125 gu i første utplukkpunkt i databilag 2
og -165 gu i siste utplukkpunkt i databilag 2



Tyngdemodellering - seismikkmodell



Tyngdemodellering - best tilpasset modell

MODEL DATA

Densitetsverdier:

Løsmasser kropp 1: 1950 kg/m³

Løsmasser kropp 2: 2000 kg/m³

Berggrunn : 2840 kg/m³

Hjørnekoordinater for kroppene i tolkningsmodellene

x = Horizontalakse i tolkningsprofil. Angitt i km

z = Vertikalakse i tolkningsprofil, positiv nedover.

Angitt i m u.h. (meter under havnivå)

Kropp 1: Felles for begge tolkningsmodellene

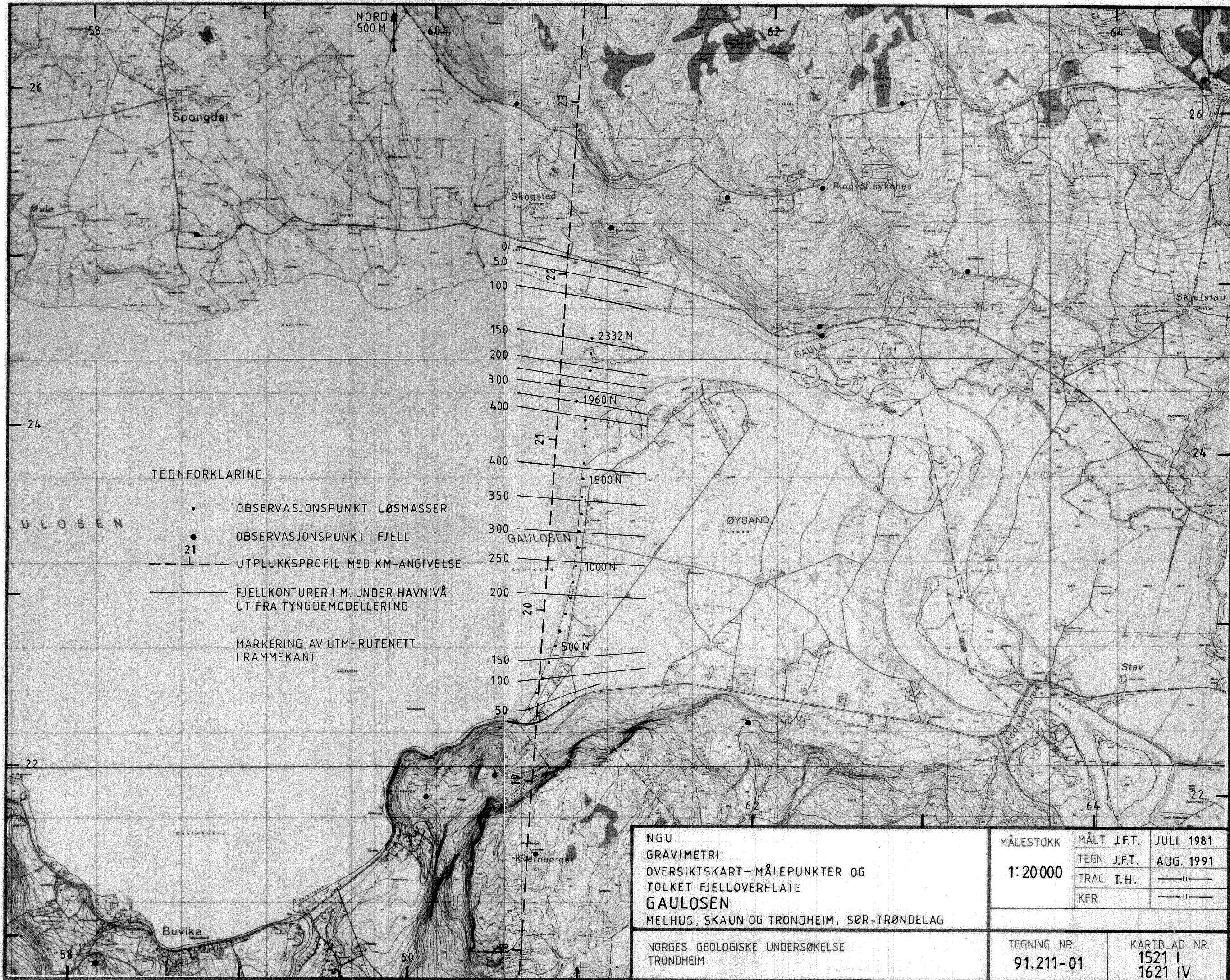
Hjørne	x	z
1	19.300	-1
2	19.305	2
3	22.080	2
4	22.100	-4
5	21.950	-3
6	21.880	0
7	21.500	0
8	21.400	-1
9	21.280	1
10	20.810	0
11	20.780	-1

Kropp 2: Seismikkmodell

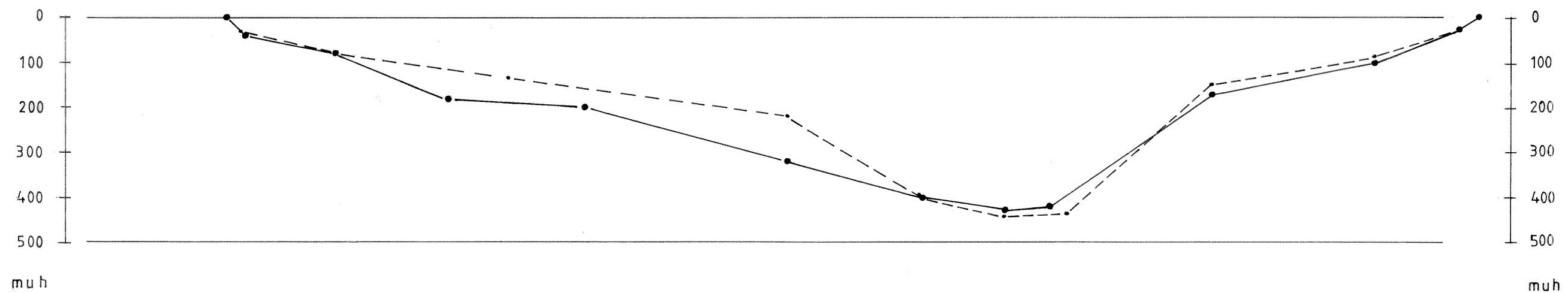
Hjørne	x	z
1	19.305	2
2	19.330	30
3	19.550	80
4	19.930	135
5	20.550	220
6	20.850	400
7	21.030	440
8	21.170	435
9	21.490	150
10	21.850	90
11	22.040	30
12	22.080	2

Kropp 2: Best tilpasset modell

Hjørne	x	z
1	19.305	2
2	19.350	40
3	19.550	80
4	19.800	180
5	20.100	200
6	20.550	320
7	20.850	400
8	21.030	430
9	21.130	420
10	21.490	170
11	21.850	100
12	22.040	30
13	22.080	2



19 20 21 22 KM



TEGNFORKLARING

- MODELL AV SEISMIKKTOLKNING
- MODELL MED BEST TILPASNING

NGU GRAVIMETRI TYNGDEMODELLERING – FJELLOVERFLATE GAULOSEN MELHUS, SKAUN OG TRONDHEIM, SØR-TRØNDELAG	1:10 000	MÅLESTOKK	MÅLT J.F.T.	JULI 1981	
		TEGN J.F.T.	AUG. 1991		
		TRAC T.H.	—II—		
		KFR	—II—		
		TEGNING NR	KARTBLAD NR.		
		91.211-02	1521 I 1621 IV		